Mém. ORSTOM, n° 37, 1970.

LEPIDOPTERA GEOMETRIDAE DU TSARATANANA

[MADAGASCAR NORD]

par

C. HERBULOT

Cette note est une énumération des *Geometridae* pris dans le massif du Tsaratanana par P. SOGA en 1964, 1965, 1966 et 1967 et par la mission conjointe Armée française / O.R.S.T.O.M. de 1966. Les récoltes ont été faites dans huit stations désignées dans la liste des espèces qui suit par autant de numéros :

STATION 1 : massif du Tsaratanana (versant sud), Antetikalabe (alt. 1 450 m), 10 au 13.XII.1966 (*P. Soga*).

STATION 2 : massif du Tsaratanana (versant ouest), vallée de l'Andavaka (alt. 1 850 m), 11 au 13.X.1966 (*P. Soga*).

STATION 3 : massif du Tsaratanana (versant sud), Andohananahila (alt. 1 850 m), début III.1967 (*P. Soga*).

STATION 4 : massif du Tsaratanana (versant sud), Andohanambatoafo (alt. 2 030 m), 16 au 18.XII.1966 (*P. Soga*).

STATION 5 : massif du Tsaratanana, matsabory en dessous de l'Andohanisambirano (alt. 2 050 m). Cette station a été prospectée à trois reprises : début XII.1964 (*P. Soga*), III.1965 (*P. Soga*), 5 au 8.XI-1966 (*P. Griveaud et P. Viette*). Ces trois séries de récoltes sont respectivement répertoriées 5 *a*, 5 *b* et 5 *c*.

STATION 6 : massif du Tsaratanana, piste de Mangindrano au Maromokotra, au nord du piton coté 2 362 (alt. 2 310 m), 9 au 12.XI.1966 (*P. Griveaud et P. Viette*).

STATION 7 : massif du Tsaratanana (versant ouest), Andilambe (alt. 2 400 m), 14.X.1966 (*P. Soga*).

STATION 8 : massif du Tsaratanana, piste de Mangindrano au Maromokotra, au sud du piton coté 2 831 (alt. 2 500 m), 13 au 15.XI.1966 (*P. Griveaud et P. Viette*).

LISTE DES ESPECES

Sous-famille OENOCHROMINAE

Derambila puella Butler — 5 *c* et 8.
Conolophia püngeleri Bastelberger — 5 *a*, 5 *c* et 8.
Brachytrita cervinaria amara Prout — 2.

Sous-famille GEOMETRINAE

Pingasa grandidieri Butler — 3 et 5 *b*.
Mimandria recognita insularis Swinhoe — 3, 5 *a* et 5 *b*.
Synclysmus niveus Butler — 3, 5 *b* et 5 *c*.
Archichlora florilimbata Herbulot — 5 *b*.
Archichlora trygodes Prout — 7.
Archichlora vieui Herbulot — 5 *b*.
Archichlora alophias catalai Herbulot — 5 *a* et 5 *b*.
Leptocolpia viridicatena Prout — 5 *b*.
Leptocolpia superba Herbulot — 3.
Leptocolpia oxygonia Prout — 3, 4, 5 *a*, 5 *b* et 6.
Comibaena punctaria Swinhoe — 5 *c*.
Hypocoela humidaria Swinhoe — 5 *a*.
Hypocoela tornifusca n. sp. (v. description en annexe) — 5 *b* et 5 *c*.
Hypocoela infracta Herbulot — 5 *b*.
Hydatopsis jaspidaria Herbulot — 5 *c*.
Epigelasma crenifera n. sp. (v. description en annexe) — 5 *a* et 5 *b*.
Epigelasma meloui Prout — 5 c.
Gelasma cowani Butler — 5 *a*.
Thalassodes progressa Prout — 5 *c*.
Metallochlora glacialis Butler — 5 *c*.

Sous-famille STERRHINAE

Ptochophyle polyniphes Prout — 5 *c*.
Ptochophyle kenricki Prout — 5 *b*.
Ptochophyle corallina n. sp. (v. description en annexe) — 5 *c* et 8.
Ptochophyle aurantibasis n. sp. (v. description en annexe) — 5 *b*.
Ptochophyle angulosa n. sp. (v. description en annexe) — 7 et 8.
Traminda obversata atroviridata Saalmüller — 8.
Scopula infantilis n. sp. (v. description en annexe) — 1.

Sous-famille LARENTIINAE

Eois incandescens Herbulot — 5 *c*.
Xanthorhoe phyxelia Prout — 5 *c*.
Xanthorhoe malgassa Herbulot — 5 *c*.
Parortholitha ingens n. sp. (v. description en annexe) — 8.
Parortholitha indocilis Herbulot — 6.
Mimoclystia andringitra Herbulot — 7 et 8.
Mimoclystia griveaudi n. sp. (v. description en annexe) — 5 *b*, 5 *c*, 6 et 8.
Mimoclystia thorenaria Swinhoe — 5 *a* et 5 *c*.
Mimoclystia rhodopnoa Prout — 5 *a* et 5 *b*.
Piercia viettei Herbulot — 5 *a*, 5 *c* et 6.
Haplolabida marojejensis Herbulot — 8.
Haplolabida lacrimans n. sp. (v. description en annexe) — 7 et 8.

Haplolabida viettei n. sp. (v. description en annexe) — 8.
Eupithecia theobromina Herbulot — 8.
Eupithecia personata Fletcher — 5 *c*.
Eupithecia sogai n. sp. (v. description en annexe) — 5 *a*, 5 *b* et 8.
Eupithecia vesiculata Herbulot — 8.
Eupithecia ericeti n. sp. (v. description en annexe) — 7 et 8.
Lobidiopteryx ecrinita Herbulot — 5 *c* et 8.
Aposteira saurides Prout — 5 *c* et 6.
Asthenotricha comosissima n. sp. (v. description en annexe) — 5 *c*.
Asthenotricha torata Prout — 5 *c*.

Sous-famille ENNOMINAE

Hypochrosis aetionaria Swinhoe — 4, 5 *a*, 5 *b* et 5 *c*.
Pseudocrocinis lymantrina n. sp. (v. description en annexe) — 4.
Eupsamma insularia Mabille — 5 *a*, 5 *c* et 7.
Psilocerea tigrinata Saalmüller — 5 *a*.
Psilocerea olsoufieffae Prout — 2, 5 *a*, 5 *b* et 5 *c*.
Psilocerea cuprea Herbulot — 5 *a*, 6 et 7.
Psilocerea swinhoei Herbulot — 5 *a*, 5 *b* et 5 *c*.
Psilocerea lemur Herbulot — 5 *c* et 6.
Psilocerea carbo n. sp. (v. description en annexe) — 5 *a*, 5 *b*, 5 *c* et 6.
Psilocerea catenosa n. sp. (v. description en annexe) — 5 *c*, 6 et 8.
Psilocerea vestitaria Swinhoe — 5 *a*, 5 *b*, 6 et 8.
Psilocerea tristigma Herbulot — 5 *a*, 5 *b*, 5 *c*, 6 et 8.
Psilocerea griveaudi Herbulot — 2, 3, 4, 5 *a*, 5 *b*, 5 *c*, 6 et 8.
Psilocerea wintreberti n. sp. (v. description en annexe) — 5 *b*, 5 *c*, 6, 7 et 8.
Psilocerea viettei Herbulot — 5 *a*, 5 *b* et 5 *c*.
Psilocerea virescens Herbulot — 5 *a*, 5 *b*, 5 *c*, 6 et 8.
Psilocerea harmonia jacobi Prout — 5 *a*, 5 *b* et 5 *c*.
Psilocerea severa Prout — 5 *c* et 6.
Psilocerea aspilates Herbulot — 5 *a*, 5 *b* et 5 *c*.
Psilocerea nigromaculata Warren — 5 *a* et 5 *c*.
Psilocerea scardamyctes Prout — 5 *a*, 5 *b*, 5 *c* et 6.
Drepanogynis alternans Herbulot — 5 *a*, 5 *b*, 5 *c*, et 8.
Drepanogynis acerba Herbulot — 5 *b*.
Drepanogynis purpurescens Herbulot — 5 *a* et 5 *c*.
Drepanogynis hygrochroaria Herbulot — 5 *a*.
Xenimpia fletcheri Herbulot — 2, 5 *a*, 5 *b*, et 6.
Semiothisa umbrata juvenilis Herbulot — 2.
Milocera horaria Swinhoe — 5 *a* et 5 *b*.
Xylopteryx doto Prout — 5 *a*, 5 *b* et 5 *c*.
Ectropis cornuta Herbulot — 5 *c*, 6 et 8.
Ectropis chopardi rufina Herbulot — 5 *a*.
Cleora quadrimaculata Janse — 4, 5 *a* et 5 *c*.
Cleora legrasi Herbulot — 5 *a*, 5 *b* et 6.
Cleora orygaria brunneata Warren — 5 *c*, 7 et 8.
Boarmia idiochroa Prout — 5 *a* et 5 *b*.
Racotis deportata n. sp. (v. description en annexe) — 2 et 3.
Rhodophtitus formosus Butler — 4, 5 *b*, 5 *c*, 6 et 8.

Cette liste appelle quelques brèves remarques.

En examinant la répartition générale des espèces énumérées, on constate que celles appartenant aux sous-familles des *Oenochrominae,* des *Geometrinae,* des *Sterrhinae* et des *Ennominae* sont dans leur immense majorité des hôtes de la forêt ombrophile de basse et de moyenne altitude de la partie orientale de l'île alors que les espèces appartenant à la sous-famille des *Larentiinae* sont pour la plupart caractéristiques de biotopes d'altitude et notamment de la formation dite sylve à lichens. Mais, un grand nombre d'espèces appartenant aux quatre premières sous-familles ont été prises sur le Tsaratanana jusqu'à 2 500 m, point le plus élevé où des récoltes aient été faites. Si la faune des *Geometridae* des hauts sommets malgaches est caractérisée par les *Larentiinae* elle n'est donc cependant pas exclusivement composée d'espèces de cette sous-famille comme c'est le cas sur les grands massifs montagneux de l'Afrique intertropicale, à une altitude il est vrai sensiblement supérieure.

Il est par ailleurs difficile de dire si les 11 *Geometridae* qui ne sont encore connus que du Tsaratanana ne seront pas retrouvés en d'autres points de l'île. Le fait qu'aucun n'ait été pris en dessous de 2 000 m serait plutôt un argument en faveur de leur localisation dans le massif ou d'une distribution restreinte à quelques hauts sommets malgaches. Si l'endémisme au niveau spécifique reste ainsi plus ou moins hypothétique, il faut noter que sur le Tsaratanana un certain nombre d'espèces se présentent d'une façon constante sous forme d'exemplaires de très grande taille. Ce phénomène s'observe en particulier chez *Metallochlora glacialis, Eupithecia theobromina, Eupithecia vesiculata, Psilocerea lemur, Psilocerea tristigma, Drepanogynis alternans.*

ANNEXE

Hypocoela tornifusca n. sp. (pl. 13, fig. 1)

♂. Palpes brun-rouge, front vert olive, vertex blanc, antennes noirâtres, bipectinées jusqu'aux 3/4, collier vert olive. Reste du corps et pattes vert clair, les deuxième et troisième segments abdominaux tachés de brun-rouge en dessus et surmontés chacun d'une petite crête noire. Ailes relativement larges, les antérieures falquées, leur bord externe légèrement dilaté entre 2 et 4, les postérieures anguleuses à l'extrémité de 4. Dessus des ailes vert-jaune parsemé de quelques mouchetures brunes, l'antémédiane, la postmédiane et la subterminale plus ou moins distinctes, les franges brun-noir, les points cellulaires bien nets, la partie des antérieures entre la subterminale, la nervure 4, le bord externe et le bord interne largement teintée de brun-rouge. Dessous des ailes d'un vert un peu plus jaune que le dessus, les mouchetures plus denses.

Holotype : 1 ♂, Madagascar, massif du Tsaratanana, matsabory en dessous de l'Andohanisambirano (alt. 2 050 m), 5 au 8.XI.1966 (*P. Griveaud et P. Viette*). Longueur de l'aile antérieure : 18 mm.

Epigelasma crenifera n. sp. (pl. 13, fig. 2)

♂. ♀. Palpes rougeâtres. Front vert dans sa partie supérieure, blanc dans sa partie inférieure, bordé de rouge à son sommet. Vertex blanc. Antennes bipectinées presque jusqu'aux 3/4 dans les deux sexes, le dessus de la tige blanc, les pectinations jaunes. Dessus du corps vert-bleu. Dessous du corps et pattes blancs, la face antérieure

de la première paire de pattes rougeâtre. Dessus des ailes vert-bleu, les lignes transverses de même couleur mais d'un ton beaucoup plus soutenu et soulignées de blanc, l'antémédiane, présente seulement aux antérieures, assez peu distincte, la postmédiane, beaucoup plus vigoureusement dessinée, formant sur les nervures des dents très accusées, la subterminale réduite à une série de petits chevrons, les points cellulaires noirs et nets, celui des postérieures rehaussé de rouge. Dessous des ailes blanc.

Holotype : 1 ♂, Madagascar, forêt de Sandrangato, au km 26 de la route d'Anosibe, 19-XII-1954 (*P. Viette*). Longueur de l'aile antérieure : 14 mm.

Ptochophyle corallina n. sp. (pl. 13, fig. 3)

♀. Tête et dessus du corps rouge vermillon, le vertex et le dessus des antennes blancs, l'abdomen ponctué de jaune sur chaque segment. Dessous du corps et pattes jaunes, les deux premières paires de pattes teintées de rouge sur leur face antérieure. Ailes larges, l'apex des antérieures relativement pointu, le bord externe des postérieures distinctement coudé à l'extrémité de 6. Aux antérieures 11 et le tronc commun 7-10 se touchent mais se séparent aussitôt. Aux postérieures 6 et 7 sont assez brièvement tigées. Dessus des ailes rouge-vermillon, régulièrement parsemé de petites vermiculures jaunes, les franges jaune d'or sauf à l'apex des antérieures où elles sont de la couleur de l'aile. Dessous des ailes rose pâle sur lequel transparaissent les petites taches jaunes du dessus, les franges comme sur le dessus.

Holotype : 1 ♀, Madagascar, massif du Tsaratanana, piste de Mangindrano au Maromokotra, au sud du piton coté 2 831 m (alt. 2 500 m), 13 au 15.XI.1966 (*P. Griveaud et P. Viette*). Longueur de l'aile antérieure : 16 mm.

Ptochophyle aurantibasis n. sp. (pl. 13, fig. 4)

♂. Tête rougeâtre. Antennes bipectinées jusqu'aux 2/3. Dessus du corps brun acajou, l'extrémité des tegulae et la base de l'abdomen rougeâtres. Dessous du corps et pattes jaunâtres, les deux premières paires de pattes teintées de rougeâtre sur leur face antérieure. Bord externe des ailes assez régulièrement arrondi. Aux antérieures 11 et le tronc commun 7-10 se touchent mais se séparent immédiatement (1). Aux postérieures 6 et 7 sont tigées. Dessus des antérieures brun-acajou, une large tache rouge orangé à la base de l'aile entre la nervure radiale et le bord interne, deux lignes sinuées de même couleur, la première à la moitié de l'aile entre la nervure 3 et le bord interne, la seconde, un peu plus forte, entre 3 et la tige commune 8-10, un petit rappel rouge orangé dans la partie apicale de l'aile, la tache cellulaire noirâtre et légèrement allongée. Dessus des postérieures semblable à celui des antérieures sauf que la tache basale est beaucoup moins étendue et que les autres dessins rouges ne sont qu'à peine esquissés. Dessous des antérieures rose pâle, des postérieures blanchâtre.

Holotype : 1 ♂, Madagascar, route d'Anosibe, Ampitameloka (alt. 840 m), 29.XII. 1966 (*P. Griveaud*). Longueur de l'aile antérieure : 9 mm.

(1) Cette disposition, qui s'observe chez l'holotype, n'est toutefois pas caractéristique de l'espèce ; chez les autres exemplaires examinés 11 et le tronc commun 7-10 sont confondus sur une plus ou moins grande longueur.

Ptochophyle angulosa n. sp. (pl. 13, fig. 5)

♀. Tête brun-rouge, les antennes blanches. Dessus du thorax brun-rouge mêlé de gris. Dessus de l'abdomen jaune fortement mêlé de rouge orangé. Dessous du corps et pattes jaune clair, les deux premières paires de pattes teintées de brun-rouge sur leur face antérieure. Ailes anguleuses à l'extrémité de la nervure 4, leur bord externe légèrement concave entre l'apex et l'extrémité de 4 d'une part, entre l'extrémité de 4 et l'angle interne de l'aile d'autre part, l'apex des antérieures aigu. Aux antérieures 11 et le tronc commun 7-10 se touchent mais se séparent aussitôt. Aux postérieures 6 et 7 sont tigées sur le 1/5 de leur longueur. Dessus des ailes jaune copieusement mêlé de rouge orangé, la région costale des antérieures parsemée de nombreuses écailles gris violacé, une ombre médiane gris-violet englobant les taches cellulaires des deux ailes, celle des antérieures réduite à un petit point noir, celle des postérieures beaucoup plus grosse, pupillée de clair, les lignes antémédiane et postmédiane peu distinctes, une ligne terminale gris-violet beaucoup mieux indiquée. Dessous des ailes jaune clair moucheté de mauve, l'ombre médiane bien apparente, disposée comme sur le dessus.

Holotype : 1 ♀, Madagascar, massif du Tsaratanana, piste de Mangindrano au Maromokotra, au sud du piton coté 2 831 m (alt. 2 500 m), 13 au 15-XI-1966 (*P. Griveaud et P. Viette*). Longueur de l'aile antérieure : 13,5 mm.

Scopula infantilis n. sp.

♂. Palpes et front rouge brique. Vertex blanc-crème. Antennes assez longuement ciliées, la longueur des cils atteignant deux fois l'épaisseur de la tige de l'antenne. Collier rouge brique. Corps et pattes blanc-crème, l'abdomen tirant davantage vers le jaune avec un minuscule point noir sur chaque segment, la face antérieure des deux premières paires de pattes rouge. Tarses postérieurs d'une longueur égale à la moitié de celle des tibias, ceux-ci pourvus d'un long pinceau de soies. Dessus des ailes antérieures blanc-crème avec trois petites taches costales brun-rouge et deux autres taches de même couleur, l'une très grosse, en forme de croissant, allant de la cellule jusqu'au milieu du bord interne, l'autre sensiblement de même forme, mais plus petite, dans l'angle interne de l'aile, le point cellulaire, gros et noir, dans le prolongement de la seconde tache costale, deux petits points noirs marginaux dans les intervalles 7-6 et 6-5, les franges jaune clair. Dessus des postérieures blanc-crème avec seulement deux petites taches brun-rouge le long du bord interne, le point cellulaire beaucoup moins gros qu'aux antérieures. Dessous des ailes blanc jaunâtre, les antérieures lavées de rouge sur la moitié de leur surface. Armure génitale comportant des valves symétriques, une mappa entière et des cerata nuls.

Holotype : 1 ♂, Madagascar, Andranomalaza, vallée d'Ivelona (Réserve naturelle intégrale III), X.1957 (*P. Soga*). Longueur de l'aile antérieure : 8 mm.

Parortholitha ingens n. sp. (pl. 13, fig. 6)

♂. Considérablement plus grand que le générotype *P. recta* Prout. Pectinations des antennes beaucoup plus longues (1,5 mm chez *ingens* contre 1 mm chez *recta*). Antémédiane et postmédiane des antérieures ne se rapprochant pas l'une de l'autre au voisinage du bord interne. Zone comprise entre ces deux lignes ne contrastant pas aussi

vivement avec le reste de l'aile par l'intensité de sa coloration brune. Armure génitale différant de celle de *recta* dans toutes ses parties, notamment par son uncus beaucoup plus court et pourvu d'une double crête et par la dilatation du bord dorsal de la costa des valves moins accusée.

Holotype : 1 ♂, Madagascar, massif du Tsaratanana, piste de Mangindrano au Maromokotra, au sud du piton coté 2 831 m (alt. 2 500 m), 13 au 15.XI.1966 (*P. Griveaud et P. Viette*). Longueur de l'aile antérieure : 18,5 mm.

Mimoclystia griveaudi n. sp. (pl. 13, fig. 7)

♂. Voisin de *M. acme* Prout mais plus grand avec les ailes beaucoup plus larges. Coloration générale plus rose. Antémédiane et postmédiane des antérieures moins épaisses, moins blanches et plus écartées l'une de l'autre, la seconde ne formant pas entre les nervures 3 et 4 un angle aussi aigu. Point cellulaire des mêmes ailes moins gros. Dessous des postérieures dépourvu de toute coloration blanchâtre. Armure génitale différant essentiellement de celle d'*acme* par la juxta plus courte et par les valves dont la costa ne présente pas dans sa partie moyenne une dilatation aussi prononcée.

Holotype : 1 ♂, Madagascar, massif du Tsaratanana, piste de Mangindrano au Maromokotra, au sud du piton coté 2 831 m (alt. 2 500 m), 13 au 15.XI.1966 (*P. Griveaud et P. Viette*). Longueur de l'aile antérieure : 13,5 mm.

Haplolabida lacrimans n. sp. (pl. 13, fig. 8)

♂. Voisin de *H. marojejensis* Herbulot. S'en distingue immédiatement par l'absence aux antérieures de bandelette médiane blanche, celle-ci étant réduite à un entourage clair du trait cellulaire et par le dessus des postérieures gris-brun (blanc chez *marojejensis*). En outre, aux antérieures la postmédiane est moins fortement tremblée et le dessus des ailes est dans l'ensemble sensiblement plus obscur que chez *marojejensis*. Les armures génitales diffèrent essentiellement par la forme des valves qui, chez *lacrimans,* sont considérablement plus larges et présentent une concavité de la costa beaucoup plus accentuée.

Holotype : 1 ♂, Madagascar, massif du Tsaratanana, piste de Mangindrano au Maromokotra, au sud du piton coté 2 831 m (alt. 2 500 m), 13 au 15-XI-1966 (*P. Griveaud et P. Viette*). Longueur de l'aile antérieure : 14 mm.

Haplolabida viettei n. sp. (pl. 13, fig. 9)

♂. Voisin de *H. marojejensis* Herbulot et de *H. lacrimans* Herbulot. S'en distingue par le tracé de l'extrabasilaire et de la postmédiane des antérieures : chez *viettei* l'extrabasilaire est sensiblement droite entre le bord antérieur de la cellule et le bord interne de l'aile (arquée chez les deux autres espèces) et la dent que forme la postmédiane sur la nervure 4 est beaucoup plus accentuée chez *viettei*. La coloration du dessus des postérieures de *viettei* gris foncé diffère tout à la fois de celle de *marojejensis* qui est blanche et de celle de *lacrimans* qui est brune. La présence d'une bandelette blanche aux antérieures éloigne *viettei* de *lacrimans* et le rapproche de *marojejensis* mais chez *viettei* cette bandelette est extérieurement accompagnée d'une ombre noire inexistante chez *marojejensis*. Dessous des ailes brun foncé plus sombre que

celui de *marojejensis,* moins rouge que celui de *lacrimans.* Valves formant passage entre celles de *marojejensis* et celles de *lacrimans.*

Holotype : 1 ♂, Madagascar, massif du Tsaratanana, piste de Mangindrano au Maromokotra, au sud du piton coté 2 831 m (alt. 2 500 m), 13 au 15-XI-1966 (*P. Griveaud et P. Viette*). Longueur de l'aile antérieure : 13,5 mm.

Eupithecia sogai n. sp. (pl. 13, fig. 10)

♂, ♀. Voisin d'*E. personata* Fletcher. S'en distingue par la postmédiane et la subterminale des antérieures généralement bien distinctes et par l'absence dans la partie externe des mêmes ailes de tache quadrangulaire bleuâtre entre les nervures 4 et 6 (tache plus ou moins apparente chez le ♂ mais toujours bien nette chez la ♀ de *personata*). Les armures génitales permettent dans tous les cas de séparer facilement les deux espèces. Chez le ♂ de *sogai* les deux bras formés par les sclérifications du huitième sternite sont plus grêles que chez *personata,* le pénis est beaucoup plus long et plus gros (dans le rapport de 3 à 2) et les cornuti, qui ont une autre forme et atteignent un plus grand développement que ceux de *personata,* ne sont pas disposés de la même façon, étant tous plus ou moins réunis par leur base. Chez la ♀ les différences sont encore plus considérables. La bursa de *sogai* présente en effet des sclérifications complexes (1) totalement absentes chez *personata* dont la bursa est simplement granuleuse par places.

Holotype : 1 ♀, Madagascar, massif du Tsaratanana, piste de Mangindrano au Maromokotra, au sud du piton coté 2 831 m (alt. 2 500 m), 13 au 15.XI.1966 (*P. Griveaud et P. Viette*). Longueur de l'aile antérieure : 11,5 mm.

Eupithecia ericeti n. sp. (pl. 13, fig. 11)

♂, ♀. Voisin d'*E. graphiticata* Joannis. Taille sensiblement supérieure. Coloration un peu plus claire. Dessus des antérieures du ♂ teinté de roux clair beaucoup plus largement que chez *graphiticata* qui ne porte une tache de cette couleur que dans l'angle apical de l'aile alors que chez *ericeti,* outre cette tache, la coloration rousse s'étend tout au long de la nervure cubitale et dans la partie moyenne de la région costale. Dessus des antérieures de la ♀ portant deux taches noirâtres subterminales jumelées entre les nervures 4 et 6, inexistantes ou à peine indiquées chez *graphiticata.*

Holotype : 1 ♂, Madagascar, massif du Tsaratanana, piste de Mangindrano au Maromokotra, au sud du piton coté 2 831 m (alt. 2 500 m), 13 au 15-XI-1966 (*P. Griveaud et P. Viette*). Longueur de l'aile antérieure : 12 mm.

Asthenotricha comosissima n. sp. (pl. 13, fig. 12)

♂. Antennes ciliées, la longueur des cils égalant l'épaisseur de la tige de l'antenne. Coloration générale du dessus du corps et des ailes brun-rouge. Un point clair sur chaque segment abdominal. Antémédiane et postmédiane des antérieures plus claires que le fond de l'aile, la première formant un arc assez régulier, la seconde festonnée

(1) La description faite par FLETCHER de la ♀ de *personata* et la figure qu'il donne de son armure génitale (*Ann. Mag. nat. Hist.,* (1951), ser. 12, vol. IV, pp. 1014 et 1022, fig. 27) se rapportent en réalité à *E. sogai.*

entre la côte et la nervure 2, droite entre cette dernière et le bord interne. Une ombre dans l'aile médiane des mêmes ailes, une autre dans l'aire basale et deux lignes brunes festonnées dans l'aire terminale, la plus proche du bord externe étant plus ou moins discontinue. Postérieures présentant à peu près les mêmes dessins que les antérieures sauf que l'antémédiane et l'ombre basale sont inexistantes. Touffe de soies caractéristique des *Asthenotricha* plus développée que dans toutes les autres espèces du genre, recouvrant approximativement le quart de l'aile, rouge-grenat. Dessous du corps jaunâtre. Dessous des ailes rose, la partie des antérieures comprise entre la cellule et le bord interne jaune pâle et d'aspect velouté, les dessins du dessus ne transparaissant que dans la région apicale des antérieures.

Holotype : 1 ♂, Madagascar, massif du Tsaratanana, matsabory en dessous de l'Andohanisambirano (alt. 2 050 m), 5 au 8-XI-1966 (*P. Griveaud et P. Viette*). Longueur de l'aile antérieure : 16 mm.

Pseudocrocinis lymantrina n. sp. (pl. 13 *bis*, fig. 13)

♂. Palpes et front jaunes, l'extrémité des palpes et la partie inférieure du front noires. Vertex jaune mêlé de noir. Antennes noires, bipectinées jusqu'au sommet, la longueur des pectinations atteignant presque le 1/3 de la longueur de l'antenne. Collier orange. Corps ocre-jaune, le bord postérieur des cinq premiers tergites noir. Pattes jaune mêlé de noir, leur extrémité noire. Aux ailes antérieures 10 et 11 sont tigées et leur tronc commun se confond avec 12 sur une courte longueur. Dessus des mêmes ailes brun cannelle traversé de la côte à l'angle interne par une large bande jaune d'œuf qui se prolonge le long de la côte jusqu'à la base de l'aile. Dessus des postérieures ocre-jaune largement teinté de noir à l'apex. Dessous des ailes jaune clair, le tiers apical des antérieures brun cannelle, les franges de la partie apicale des postérieures noirâtres.

Holotype : 1 ♂, Madagascar, massif du Tsaratanana (versant sud). Andohanambatoafo (2 030 m), 16 au 18-XII-1966 (*P. Soga*). Longueur de l'aile antérieure : 22 mm.

Psilocerea carbo n. sp. (pl. 13 *bis*, fig. 14)

♀. Antennes simples. Forme des ailes assez semblable à celle de *P. lemur* Herbulot, sauf que le bord externe est légèrement plus concave aux antérieures entre l'apex et l'extrémité de 4 et qu'il n'est pas anguleux aux postérieures à l'extrémité de 4 tout en formant à cet endroit une dent bien prononcée. Dessus du corps et des ailes entièrement brun sépia, les lignes disposées à peu près comme chez *lemur*, fines et nettes, mais ne tranchant que faiblement sur le fond sombre de l'aile, la postmédiane des antérieures un peu plus écartée de l'apex que chez *lemur* et rehaussée sur chaque nervure d'un minuscule point blanc. Dessous du corps et des ailes un peu plus clair que le dessus, dépourvu de tout dessin.

Holotype : 1 ♀, Madagascar, massif du Tsaratanana, piste de Mangindrano au Maromokotra, au nord du piton coté 2 362 m (alt. 2 310 m), 9 au 12-XI-1966 (*P. Griveaud et P. Viette*). Longueur de l'aile antérieure : 20,5 mm.

Psilocerea catenosa n. sp. (pl. 13 *bis*, fig. 15)

♂. Rappelle par son faciès *P. severa* Prout. Antennes bipectinées sur une plus grande longueur. Ailes un peu moins acuminées, leur bord externe distinctement angu-

leux. Semis d'écailles foncées des ailes beaucoup plus dense que chez *severa*. Lignes transverses brunâtres tranchant plus nettement sur le fond de l'aile et disposées un peu différemment, la postmédiane double, la subterminale formée d'un chapelet de taches irrégulières. L'armure génitale de *catenosa* n'offre par contre aucune analogie avec celle de *severa*. Le pénis est évasé et cannelé comme ceux de *P. lemur* Herbulot et de *P. penicillata* Herbulot mais par ailleurs les différences avec ces deux dernières espèces sont nombreuses et importantes.

Holotype : 1 ♂, Madagascar, massif du Tsaratanana, piste de Mangindrano au Maromokotra, au nord du piton coté 2 362 m (alt. 2 310 m), 9 au 12.XI.1966 (*P. Griveaud et P. Viette*). Longueur de l'aile antérieure : 21,5 mm.

Psilocerea wintreberti n. sp. (pl. 13 *bis*, fig. 16)

♂. Assez semblable d'aspect à *P. aspilates* Herbulot. Antennes pectinées sur une plus grande longueur (jusqu'aux 3/4 chez *wintreberti*, jusqu'aux 2/3 chez *aspilates*). Apex des ailes antérieures plus saillant. En ce qui concerne le dessin des ailes, la différence majeure réside dans l'emplacement de l'ombre brun-jaune bordant la ligne transverse des antérieures : chez *wintreberti* cette ombre borde la ligne extérieurement alors que chez *aspilates* elle la borde intérieurement. La ligne elle-même, noire et fine chez *aspilates*, est brune et un peu plus épaisse chez *wintreberti*. Aux postérieures la postmédiane est plus écartée du point cellulaire que chez *aspilates* et elle ne se termine pas, comme chez cette dernière espèce, par un point noir sur le bord anal. L'armure génitale de *wintreberti* ne présente aucune des particularités de celle d'*aspilates*. Elle est d'un type simple, l'espèce étant à cet égard à ranger dans le groupe de *P. rachicera* Butler.

Holotype : 1 ♂, Madagascar, massif du Tsaratanana, piste de Mangindrano au Maromokotra, au nord du piton coté 2 362 m (alt. 2 310 m), 9 au 12.XI.1966 (*P. Griveaud et P. Viette*). Longueur de l'aile antérieure : 20 mm.

Racotis deportata n. sp. (pl. 13 *bis*, fig. 17)

♂, ♀. Voisin de *R. apodosima* Prout. Ne s'en distingue guère extérieurement que par les dessins du dessus des ailes d'un bruu un peu plus chaud, par la bande subterminale sombre du revers des ailes sensiblement plus large, par les antennes du ♂ un peu moins longuement pectinées et par celles de la ♀ portant des cils un peu plus courts. L'armure génitale du ♂ présente par contre de nombreuses différences : l'uncus est plus court, le gnathos est plus large, subtriangulaire, nullement spatulé comme chez *apodosima*, les valves sont fortement rétrécies à leur extrémité, le pénis est plus allongé, son cornutus est plus gros, bien sclérifié et d'une manière générale beaucoup mieux individualisé que celui d'*apodosima*.

Holotype : 1 ♂, Madagascar, massif du Tsaratanana (versant ouest), vallée de l'Andavaka (alt. 1 850 m), 11 au 13.X.1966 (*P. Soga*). Longueur de l'aile antérieure : 22 mm.

Les holotypes de toutes les espèces décrites dans la présente note appartiennent aux collections du Muséum de Paris. Des exemplaires se trouvent dans la collection du Centre O.R.S.T.O.M. à Tananarive et dans la mienne.

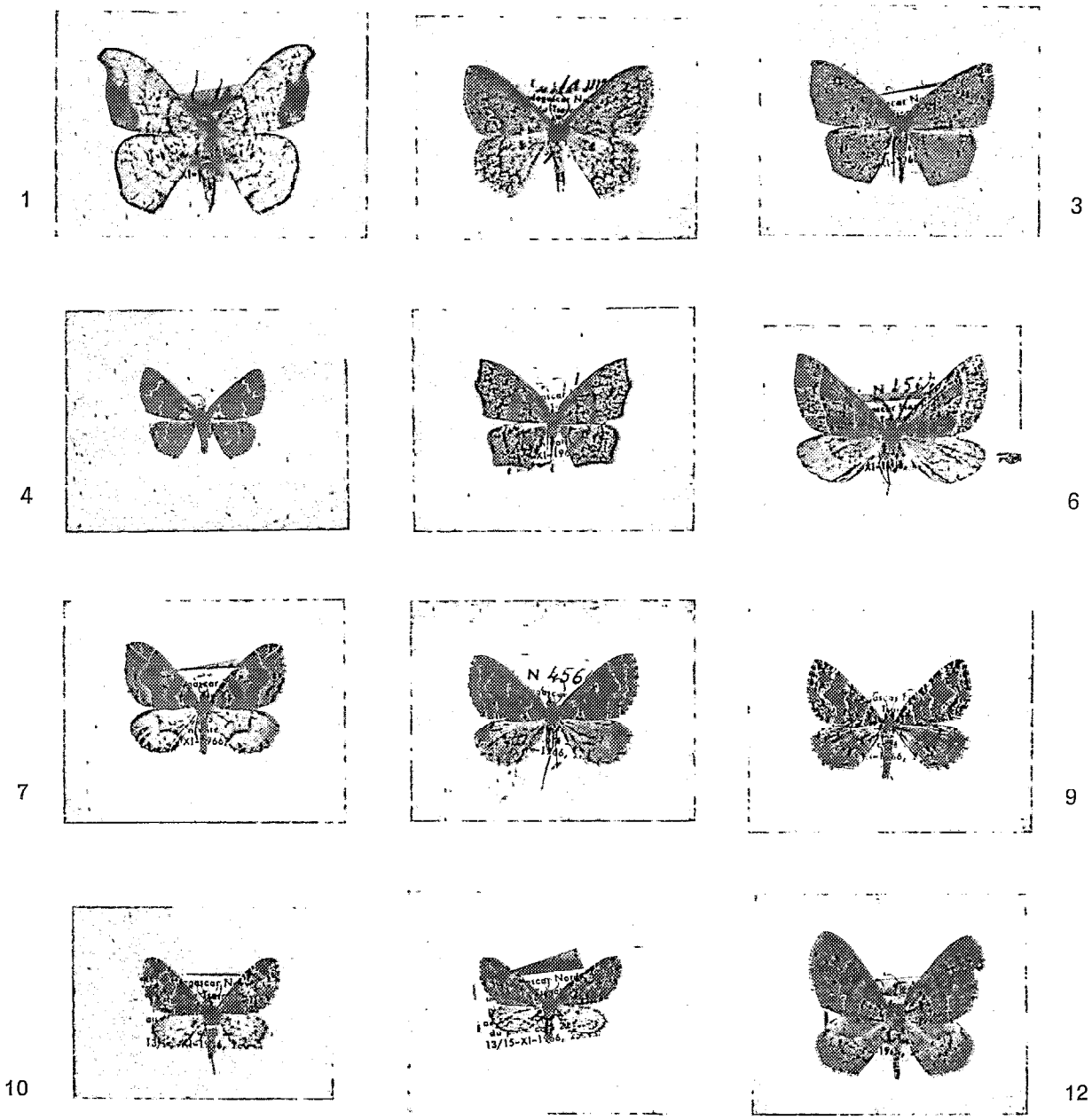

Fig. 1 à 12. — 1, *Hypocoela tornifusca* n. sp. (holotype). — 2, *Epigelasma crenifera* n. sp. — 3, *Ptochophyle corallina* n. sp. (holotype). — 4, *Pt. aurantibasis* n. sp. — 5, *Pt. angulosa* n. sp. (holotype). — 6, *Paraortholitha ingens* n. sp. (holotype). — 7, *Mimoclystia griveaudi* n. sp. (holotype). — 8, *Haplolabida lacrimans* n. sp. (holotype). — 9, *H. viettei* n. sp. (holotype). — 10, *Eupithecia sogai* n. sp. (holotype). — 11, *E. ericeti* n. sp. (holotype). — 12, *Asthenotricha comosissima* n. sp. (holotype).

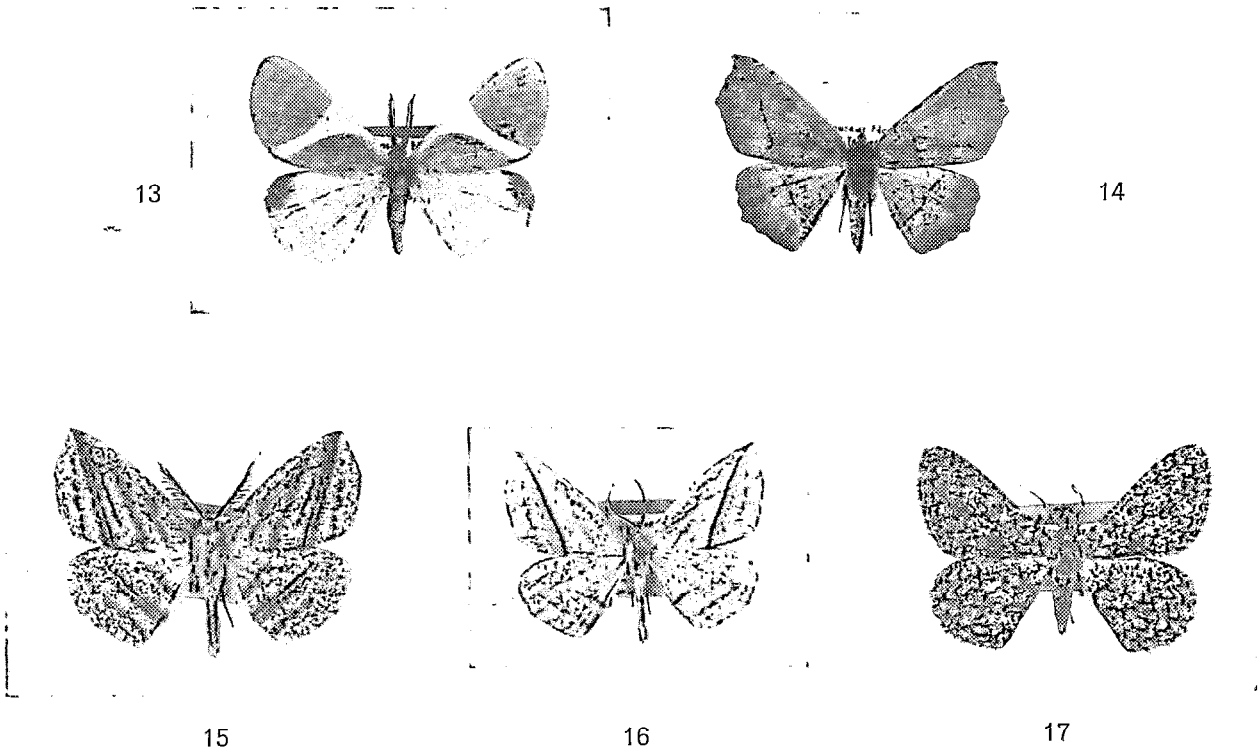

Fig. 13 à 17. — 13, *Ectropis lymantrina* n. sp. (holotype). — 14, *Psilocerea carbo* n. sp. (holotype). — 15, *Psilocerea catenosa* n. sp. (holotype). — 16, *Ps. wintreberti* n. sp. (holotype). — 17, *Racotis deportata* n. sp. (holotype).